

## MODERNE PHYSIK (PMA) - ZUSAMMENFASSUNG UND FORMELN

### Kernmasse, Bindungsenergie und Kernradius

Glossar: **Nukleus** (pl. Nuklei) = Kern, **Nukleon** = Neutron oder Proton, **Isotop** = gleiche Anzahl Protonen, unterschiedlich viele Neutronen.

- **Coulomb-Kraft:**  $F_C = \frac{1}{4\pi\epsilon_0} \frac{Q_1 Q_2}{r^2}$  zwischen den Ladungen  $Q_1$  und  $Q_2$  im Abstand  $r$
- **Coulomb-Energie:**  $E_{pot} = \frac{1}{4\pi\epsilon_0} \frac{Q_1 Q_2}{r}$

Elementarladung (Elektron, Proton):  $e = q_e = 1.6021766208 \times 10^{-19} \text{C} \cong 1.602 \times 10^{-19} \text{C}$

- **Atomare Energieeinheit:**  $1\text{eV} = 1.602 \times 10^{-19} \text{J}$

Elektrische Feldkonstante:  $\epsilon_0 = 8.854 \times 10^{-12} \frac{\text{C}}{\text{Vm}}$ , oder  $\left[\frac{\text{F}}{\text{m}}\right]$ , oder  $\left[\frac{\text{C}^2}{\text{m}^2 \text{N}}\right]$

Lichtgeschwindigkeit:  $c = \lambda f = 299\,792\,458 \frac{\text{m}}{\text{s}} \cong 2.998 \times 10^8 \frac{\text{m}}{\text{s}}$

Avogadro Konstante:  $N_A = 6.0221 \times 10^{23} \frac{1}{\text{mol}}$

Anzahl mol einer Substanz der Masse  $m$ :  $n = \frac{N}{N_A} = \frac{m}{m_{mol}}$ ,  $m_{mol}$  = molare Masse

Anzahl Moleküle pro Volumen einer Substanz:  $N = \frac{\rho}{m_{mol}} N_A$

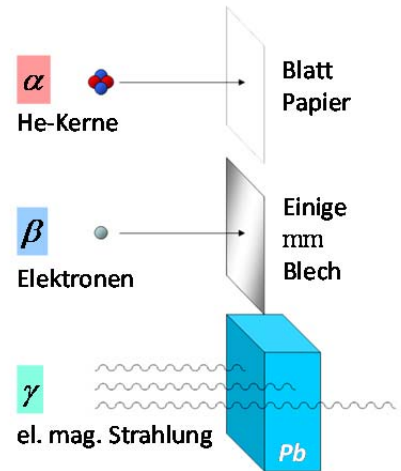
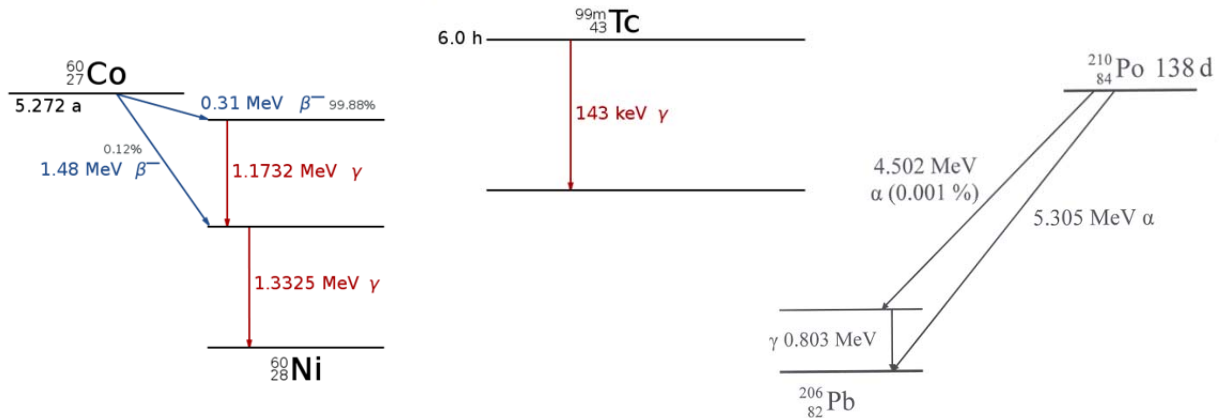
- **Atomare Masseneinheit:**  $1\text{u} = 1.660\,539\,040 \times 10^{-27} \text{kg}$ ,  $1\text{u} \cdot c^2 = 931.494\,095\,4 \text{MeV}$

Teilchen	Masse			Halbwertszeit $T_{1/2}$
	atomare Einheit u	kg ( $\times 10^{-27}$ )	$mc^2$ in MeV	
Proton $p^+$	1.007276467	1.672621898	938.2720813	
Neutron $n$ , $m_n$	1.008664916	1.674927471	939.5654133	10.2 Minuten (frei)
Elektron $e^-$	0.000548580	0.000910938	0.5109989	
Wasserstoff ${}^1_1\text{H}$ (99.99%)	1.007825032	1.673532812	938.7830665	
Deuteron $pn = d$	2.013553213	3.343583719	1875.6129280	
Deuterium ${}^2_1\text{H} = \text{D}$ (0.01%)	2.014101778	3.344494633	1876.1239134	
Tritium ${}^3_1\text{H} = \text{T}$	3.016049278	5.008267573	2809.4320931	12.3 Jahre
Helium ${}^3_2\text{He}$	3.016029320	5.008234432	2809.4135025	
Alpha $ppnn = \alpha$	4.001506179	6.644657230	3727.3793776	
Helium ${}^4_2\text{He}$ (99.9999%)	4.002603254	6.646478965	3728.4012965	
Uran ${}^{235}_{92}\text{U}$ (in AKW 3%, in Bombe 80%)	235.043930131	390.299622098	218942.0330226	0.704 Mia Jahre
Uran ${}^{238}_{92}\text{U}$ (99.3%)	238.050788423	395.292627679	221742.9037666	4.47 Mia Jahre

- **Kernradius:**  $R = R_0 A^{1/3}$ ,  $A = Z + N$  = Gesamtzahl Nukleonen,  $R_0 = 1.2 \times 10^{-15} \text{m} = 1.2 \text{fm}$
- **Bindungsenergie eines Atomkerns:**  $E_B = (ZM_{{}_1^1\text{H}} + Nm_n - {}^A_Z M)c^2$ ,  ${}^A_Z M$  = Masse des Atoms
- **Bindungsenergie pro Nukleon:**  $\frac{-E_B}{A} = \frac{-(ZM_{{}_1^1\text{H}} + Nm_n - {}^A_Z M)c^2}{A}$ , tief negativ bedeutet starke Bindung

## Radioaktivität: spontaner Zerfall instabiler Kerne

- **Alpha Zerfall ( $\alpha$ ):** z.B. Radium ( $T_{1/2} = 1600$  Jahre) zerfällt zu Radon (im „Keller“):  $^{226}_{88}\text{Ra} \rightarrow ^{222}_{86}\text{Rn} + \alpha_{ppnn}$
- **Beta Zerfall ( $\beta$ ):** z.B. Umwandlung eines Neutrons im Kern (schwache WW):  $n \rightarrow p + \beta^- + \bar{\nu}_e$ ,  $\bar{\nu}_e$  = Antineutrino
- **Gamma Zerfall ( $\gamma$ ):** z.B. Zerfall eines hoch angeregten Kernzustandes in einen tieferen Zustand unter Aussenden eines Photons, eines so genannten Gamma Quants.
- **Zerfalls-Schemen, drei Beispiele**

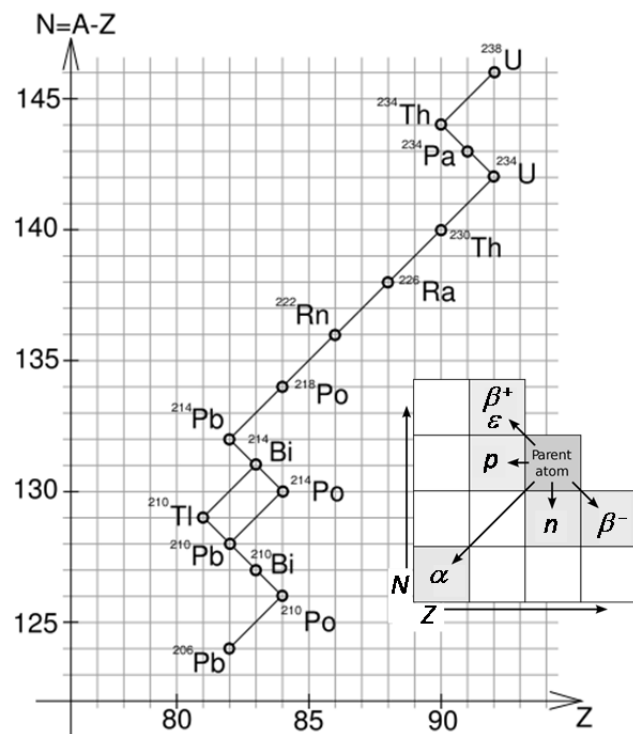


- **Impuls eines Photons** der Wellenlänge  $\lambda$ :  $p_\gamma = \frac{h}{\lambda} = \frac{\hbar}{k}$ , Wellenzahl  $k = \frac{2\pi}{\lambda}$
- Planck Konstante:  $h = 6.626 \times 10^{-34} \frac{\text{kg} \cdot \text{m}^2}{\text{s}}$ ,  $\hbar = \frac{h}{2\pi}$ ,  $c = \lambda f = 2.998 \times 10^8 \frac{\text{m}}{\text{s}}$
- **Energie eines Photons** der Frequenz  $f$  der Wellenlänge  $\lambda$ :  $E_\gamma = hf = \frac{hc}{\lambda} = p_\gamma c = \hbar \omega$ ,  $\omega = 2\pi f$
- **Energieniveaus des Elektrons in Wasserstoff (Bohr Modell):**  $E_n = \frac{-hcR_y}{n^2} = \frac{-2.18 \times 10^{-18} \text{ J}}{n^2} = \frac{-13.6 \text{ eV}}{n^2}$

$n = 1, 2, 3, \dots$ ,

Rydberg Konstante:  $R_y = 1.097 \times 10^7 \frac{1}{\text{m}}$

- **Zerfallsreihe von  $^{238}_{92}\text{U}$**   $\rightarrow$



## Radioaktivität und Halbwertszeit

- **Radioaktives Zerfallsgesetz** für die Anzahl verbleibender Kerne:  $N(t) = N_0 \cdot e^{\left(\frac{-t}{\tau}\right)} = N_0 \cdot 2^{\left(\frac{-t}{T_{1/2}}\right)}$   
 $N_0$  = Anzahl Startkerne,  $\beta$  = Zerfallskonstante,  $\tau = \frac{1}{\beta}$  = Abklingzeit, Zerfallszeit,

Halbwertszeit:  $T_{1/2} = \ln(2) \cdot \tau = \frac{\ln(2)}{\beta}$

- **Aktivität einer Substanz:**  $A = \left| \frac{dN}{dt} \right| = \beta N = \frac{N}{\tau} = \frac{N}{T_{1/2}} \ln(2)$  = Anzahl Zerfälle pro Sekunde

$[A] = \frac{1}{s} = \text{Bq} = \text{Becquerel}$ , alte Einheit **Curie**:  $1\text{Ci} = 3.70 \times 10^{10} \text{Bq}$

- **Radiokarbon-Datierung** basiert auf dem natürlichen Verhältnis zwischen radioaktivem  $^{14}_6\text{C}$  und stabilem  $^{12}_6\text{C}$  in lebenden Organismen:  $pMC = \frac{N_{C14}}{N_{C12}} = \frac{1}{7.69 \times 10^{11}} = 1.3 \times 10^{-12}$ , und dem allmählichen Zerfall des eingelagerten  $^{14}_6\text{C}$  nach dem Tod mit einer Halbwertszeit von  $T_{1/2 \text{ C14}} = 5730 \text{ Jahre} \rightarrow \tau_{C14} = 8270 \text{ Jahre}$

## Dosimetrie

- **Energiedosis** ist die absorbierte Energie pro Gewebemasse:

$$D = \frac{E}{m} \rightarrow [D] = 1 \frac{\text{J}}{\text{kg}} = 1 \text{ Gray} = 1 \text{ Gy} = 100 \text{ Rad}$$

- **Äquivalentdosis** ist ein Mass für die biologische Wirkung:

$$H = q \cdot D \rightarrow [H] = 1 \text{ Sievert} = 1 \text{ Sv} = 100 \text{ rem},$$

$$q \text{ ist der Bewertungsfaktor} \rightarrow [q] = \frac{\text{Sv}}{\text{Gy}} \text{ oder } [q] = \frac{\text{rem}}{\text{rad}}$$

- **Ionendosis** ist die durch Strahlung gebildete Ladung pro kg:

$$J = \frac{Q}{m} \rightarrow [J] = 1 \frac{\text{C}}{\text{kg}} = 3876 \text{ Röntgen (R)}$$

Strahlungsart	$q$
$\gamma$	1
$\beta$	1 - 1.5
langsame $n$ (0.025 MeV)	3
$n$ (0.02 - 0.1 MeV)	5 - 8
schnelle $n$ und $p$	10
$\alpha$	20
schwere Kerne	20

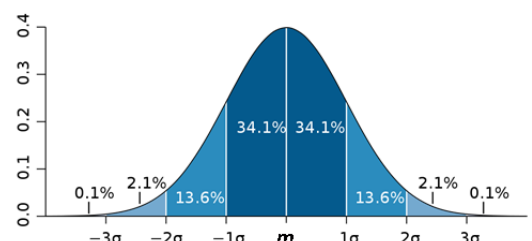
## Wenige Zerfälle - Poisson Statistik

- **Diskrete Poisson Verteilung:**  $p(x) = \frac{m^x \cdot e^{-m}}{x!}$  ist die Wahrscheinlichkeit, bei einem Mittelwert  $m$  den Wert  $x$  zu messen. Beispiel mit gleichbleibendem Regen: 1469 Tropfen fallen in 15 Minuten in einen Eimer. Mittelwert in 10s:  $16.32 \frac{\text{Tro}}{10\text{s}} = m_{10\text{s}}$ ,  $\rightarrow p\left(x = 14 \frac{\text{Tro}}{10\text{s}}\right) = \frac{m^x \cdot e^{-m}}{x!} = \frac{16.32^{14} \cdot e^{-16.32}}{14!}$
- **Kontinuierliche Poisson Verteilung:**  $p(x) = \frac{m^x \cdot e^{-m}}{x!} = \frac{m^x \cdot e^{-m}}{\int_0^\infty t^x e^{-t} dt}$ ,  $x! = \int_0^\infty t^x e^{-t} dt$

## Viele Zerfälle - Gauss Statistik

- **Gaussverteilung:**  $p(x) = \frac{1}{\sqrt{2\pi m}} e^{\frac{-(x-m)^2}{2m}} = \frac{1}{\sqrt{2\pi\sigma^2}} e^{\frac{-(x-\sigma^2)^2}{2\sigma^2}}$

mit Standardabweichung  $\sigma = \sqrt{m}$



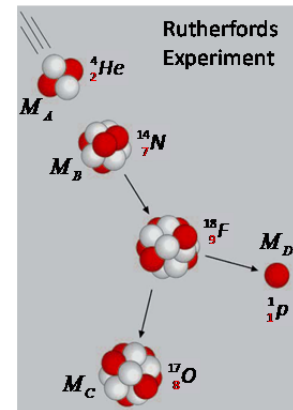
Erzwungene Kernreaktionen: exotherm ( $Q_{out+}$ ) - endotherm ( $Q_{in-}$ )

- Reaktionsenergie (Reaktionswärme):  $Q = (M_A + M_B - M_C - M_D)c^2$

Exotherm:  ${}^1_1\text{H} + {}^7_3\text{Li} \rightarrow {}^4_2\text{He} + {}^4_2\text{He} \Rightarrow Q = +17346 \text{ keV}$

Endotherm:  ${}^4_2\text{He} + {}^{14}_7\text{N} \rightarrow {}^{17}_8\text{O} + {}^1_1\text{H} \Rightarrow Q = -1191.9 \text{ keV}$

Kinetische Energie des Projektils im Laborsystem:  $E_{kin,Pr} = \frac{M_{A,Pr} + M_B}{M_B} Q$



Target(s):  56fe, Fe56, 26056, cr50-fe56 use dash for range only

Projectile:  4He, He-4, 2-he-4, a, alpha, 2004

Ejectile:  g, n, n+p, 2n+a, 2a+12c (reaction) b-, ec, 2b-, b-n, ecp, 18O (decay)

Reaction Q-values for  ${}^{14}\text{N} + {}^4\text{He}$

Reaction Products	Q-value (keV)	Threshold (keV)
${}^1_1\text{H} + {}^{17}_8\text{O}$	-1191.875 6.76E-4	1532.5576 8.7E-4

<http://www.nndc.bnl.gov/qcalc>

## Das Periodensystem der Elemente



Ordnungszahl Z

Molmasse ( $\frac{\text{g}}{\text{mol}}$ )

1

H

1.0079

Symbol

Vorkommen

x fest

x flüssig

x gasförmig

o natürlich

o nat. radioaktiv

x synthetisch

Serie

Alkalimetall

Erdalkalimetall

Lanthanoid

Actinoid

Übergangsmetall

Halbmetall

Metalloid

Nichtmetall

Halogen

Edelgas

1	2											13	14	15	16	17	18
1	H											5	6	7	8	9	10
1	H											5	6	7	8	9	10
1	H											5	6	7	8	9	10
1	H											5	6	7	8	9	10
1	H											5	6	7	8	9	10
1	H											5	6	7	8	9	10
1	H											5	6	7	8	9	10
1	H											5	6	7	8	9	10
1	H											5	6	7	8	9	10
1	H											5	6	7	8	9	10
1	H											5	6	7	8	9	10
1	H											5	6	7	8	9	10
1	H											5	6	7	8	9	10
1	H											5	6	7	8	9	10
1	H											5	6	7	8	9	10
1	H											5	6	7	8	9	10
1	H											5	6	7	8	9	10
1	H											5	6	7	8	9	10
1	H											5	6	7	8	9	10
1	H											5	6	7	8	9	10
1	H											5	6	7	8	9	10
1	H											5	6	7	8	9	10
1	H											5	6	7	8	9	10
1	H											5	6	7	8	9	10
1	H											5	6	7	8	9	10
1	H											5	6	7	8	9	10
1	H											5	6	7	8	9	10
1	H											5	6	7	8	9	10
1	H											5	6	7	8	9	10
1	H											5	6	7	8	9	10
1	H											5	6	7	8	9	10
1	H											5	6	7	8	9	10
1	H											5	6	7	8	9	10
1	H											5	6	7	8	9	10
1	H											5	6	7	8	9	10
1	H											5	6	7	8	9	10
1	H											5	6	7	8	9	10
1	H											5	6	7	8	9	10
1	H											5	6	7	8	9	10
1	H											5	6	7	8	9	10
1	H											5	6	7	8	9	10
1	H											5	6	7	8	9	10
1	H											5	6	7	8	9	10
1	H											5	6	7	8	9	10
1	H											5	6	7	8	9	10
1	H											5	6	7	8	9	10
1	H											5	6	7	8	9	10
1	H											5	6	7	8	9	10
1	H											5	6	7	8	9	10
1	H											5	6	7	8	9	10
1	H											5	6	7	8	9	10
1	H											5	6	7	8	9	10
1	H											5	6	7	8	9	10
1	H											5	6	7	8	9	10
1	H											5	6	7	8	9	10
1	H											5	6	7	8	9	10
1	H											5	6	7	8	9	10
1	H											5	6	7	8	9	10
1	H											5	6	7	8	9	10
1	H											5	6	7	8	9	10
1	H											5	6	7	8	9	10
1	H											5	6	7	8	9	10
1	H											5	6	7	8	9	10
1	H											5	6	7	8	9	10

### Taylor Entwicklung, Näherungen für $\varepsilon \ll 1$

- $\frac{1}{1-\varepsilon} \cong 1 + \varepsilon + (\varepsilon^2 + \varepsilon^3 \dots)$  ;  $\frac{1}{1+\varepsilon} \cong 1 - \varepsilon + (\varepsilon^2 - \varepsilon^3 \dots)$
- $\frac{1}{\sqrt{1-\varepsilon}} \cong 1 + \frac{1}{2}\varepsilon + \left(\frac{3}{8}\varepsilon^2 + \frac{5}{16}\varepsilon^3 \dots\right)$

z.B.  $\frac{1}{\sqrt{1-(\frac{v}{c})^2}} \cong 1 + \frac{1}{2}\frac{v^2}{c^2} \dots$

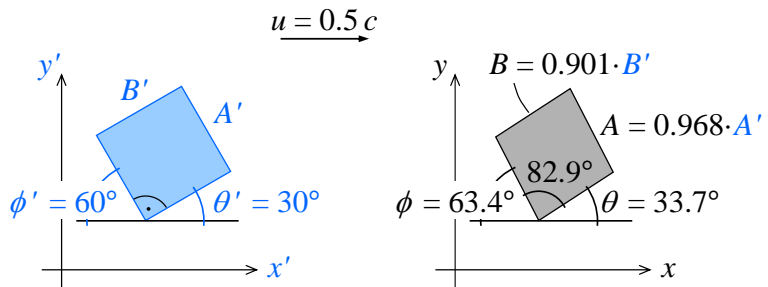
### Zeitdilatation - Längenkontraktion

- **Beta:**  $\beta = \frac{v}{c}$  oder  $\frac{u}{c}$  ; **Gamma:**  $\gamma = \frac{1}{\sqrt{1-(\frac{v}{c})^2}} = \frac{1}{\sqrt{1-\beta^2}} \cong 1 + \frac{1}{2}\beta^2 + \frac{3}{8}\beta^4 \dots$
- **Zeitdilatation:**  $t = \gamma t_0$  mit der **Eigenzeit**  $t_0$  , dort wo die Zeit  $t_0$  am gleichen Ort verstreicht.
- **Längenkontraktion:**  $\gamma L = L_0$  mit der **Eigenlänge**  $L_0$  , dort wo das Objekt  $L_0$  in Ruhe bleibt.

Formverzerrung:

$$A = \sqrt{\frac{(A' \cos \phi')^2}{\gamma^2} + (A' \sin \phi')^2}$$

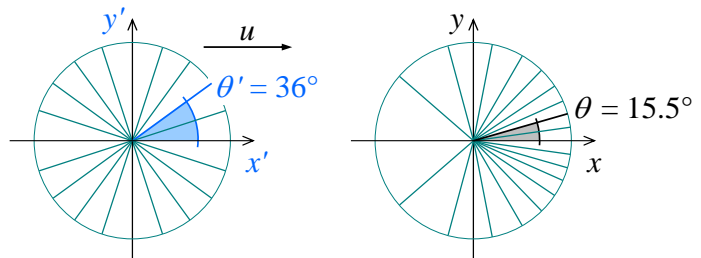
$$\theta = \tan^{-1} \left( \gamma \frac{\sin \theta'}{\cos \theta'} \right)$$



Headlight Effekt:

$$\cos \theta = \frac{\cos \theta' + \beta}{1 + \beta \cos \theta'}$$

$$\sin \theta = \frac{\sin \theta'}{\gamma(1 + \beta \cos \theta')}$$



### Lorentz Transformationen

$u$  ist die Relativgeschwindigkeit in Richtung  $x$  , positiv für  $S$ .  $\vartheta = ct$  ist die Lichtlänge.  $\gamma = \frac{1}{\sqrt{1-(\frac{u}{c})^2}}$

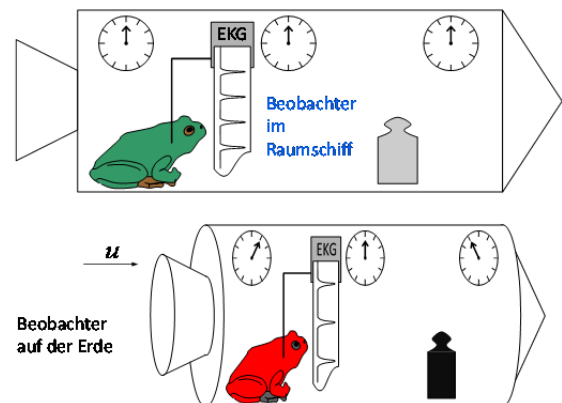
$$x = \gamma(x' + ut')$$

$$y = y'$$

$$t = \gamma(t' + ux'/c^2) \text{ respektive } \vartheta = \gamma(\vartheta' + \beta x')$$

$$v_x = \frac{v_{x'} + u}{1 + \frac{uv_{x'}}{c^2}}$$

$$v_y = \frac{v_{y'}}{\gamma \left( 1 + \frac{uv_{x'}}{c^2} \right)}$$

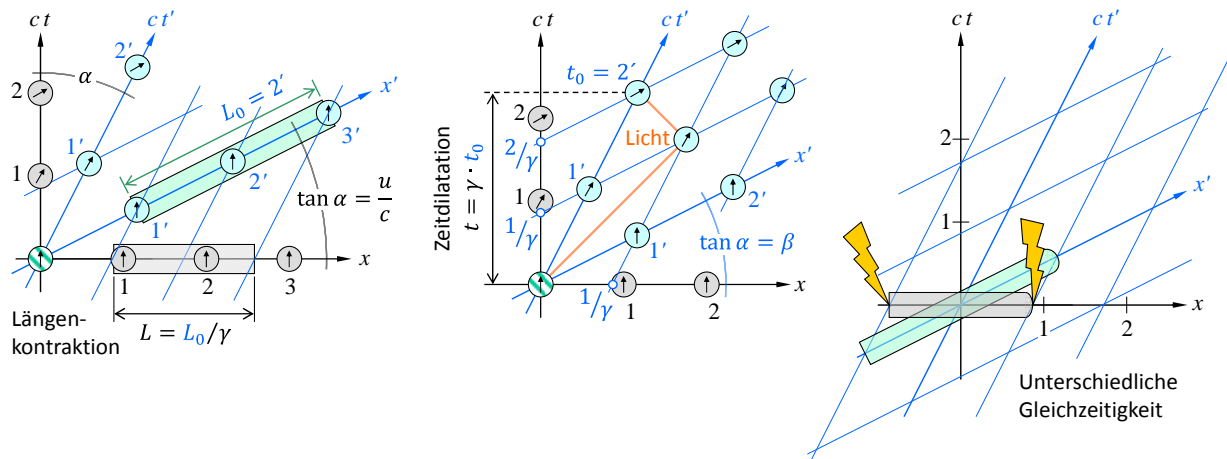


- **Invariantes Raum-Zeit Intervall:**  $(\Delta s)^2 = (c\Delta t)^2 - [(\Delta x)^2 + (\Delta y)^2]$

- **Doppler Effekt:**  $f = \sqrt{\frac{c+u}{c-u}} f_0'$  mit der **Eigenfrequenz**  $f_0'$ , dort wo das Signal aus der Ruhe gesendet wird.  $u$  ist positiv oder negativ, je nach Bewegungsrichtung der Quelle.

Für kleine Geschwindigkeiten:  $\frac{f-f_0'}{f_0'} = \frac{\Delta f}{f_0'} = \sqrt{\frac{c+u}{c-u}} - 1 \cong \frac{u}{c} + \frac{1}{2} \left(\frac{u}{c}\right)^2 \dots; u \ll c$

### Minkowski Diagramm



### Relativistische Mechanik

- **Relativistische Masse:**  $m = \gamma m_0 = \frac{m_0}{\sqrt{1-(v/c)^2}}$ ;  $m_0$  ist die **Ruhemasse**
  - **Gesamtenergie:**  $E = mc^2 = \gamma m_0 c^2$   
Kinetische Energie:  $E - E_0 = mc^2 - m_0 c^2 = (\gamma - 1) m_0 c^2 = \frac{1}{2} m_0 v^2 + \frac{3}{8} m_0 \frac{v^4}{c^2} \dots$
  - **Relativistischer Impuls:**  $\vec{p} = \gamma m_0 \vec{v} = m \vec{v}$ ; Impuls des **Photons:**  $p_{\text{photon}} = \frac{E_{\text{photon}}}{c}$
- **Invariante Ruheenergie:**  $E_0 = m_0 c^2 = \sqrt{E^2 - (pc)^2}$

In der SRT ist die Kraft eine komplizierte Grösse. Bei hohen Geschwindigkeiten  $v$  sind die **Kraft**  $F$  und die Beschleunigung  $a$  nicht mehr parallel:

- Kraft in Richtung der Geschwindigkeit:  $F_{\parallel} = \gamma^3 m_0 a_{\parallel}$
- Kraft senkrecht zur Geschwindigkeit:  $F_{\perp} = \gamma m_0 a_{\perp}$ ;  $|\vec{v}| = \text{konstant}$

Erhaltungssätze für Teilchenkollisionen:

- **Energieerhaltung:**  $E_{\text{tot,vor}} = c^2 \sum m_i = E_{\text{tot,nach}} = c^2 \sum m_k$
- **Impulserhaltung:**  $\vec{p}_{\text{tot,vor}} = \sum m_i \vec{v}_i = \vec{p}_{\text{tot,nach}} = \sum m_k \vec{v}_k$

→ **Invarianz der Ruheenergie:**  $\sqrt{E_{\text{tot,vor}}^2 - (\vec{p}_{\text{tot,vor}} c)^2} = E_{\text{tot,0}} = \sqrt{E_{\text{tot,nach}}^2 - (\vec{p}_{\text{tot,nach}} c)^2}$

